

جغرافیا و توسعه شماره ۳۳ زمستان ۱۳۹۲

وصول مقاله : ۱۳۹۰/۱۲/۲۰

تأثیر نهایی : ۱۳۹۱/۹/۱۴

صفحات : ۱۳۸ - ۱۳۱

بررسی لرزه‌خیزی و نشانه‌های دال بر فعالیت‌های آتشفسانی تفتان

بهار رضائی نهال^۱، دکتر مهدی زارع^۲، دکتر منوچهر قرشی^۳، دکتر رضا نوزعیم^۴

چکیده

جهت بررسی فعالیت‌های آتشفسانی تفتان و تبیین ارتباط آن با لرزه‌خیزی منطقه، با در نظر گرفتن کارهای تقریباً مشابه انجام شده با موضوع مورد نظر ما در دنیا، نیاز به بررسی پارامترهای لرزه‌خیزی منطقه در زمان رخداد آتشفسانی و کل بازه زمانی مورد مطالعه وجود دارد. اطلاعات مورد نیاز پس از جمع آوری و تدوین کاتالوگ لرزه‌ای و رخدادهای آتشفسانی تفتان از پایگاهها و مراکز معابر در دنیا، تلفیق و با کمک فرمول‌های معابر موجود پارامترهای لرزه‌خیزی منطقه در زمان رخداد هر واقعه آتشفسانی مورد تجزیه و تحلیل قرار گرفت. در این مطالعه ضمن تهییه کاتالوگی از فعالیت‌های لرزه‌خیزی و آتشفسانی ثبت شده در منطقه و بررسی پارامترهای لرزه‌خیزی آن سعی در بررسی تأثیر فعالیت‌های کنونی این آتشفسان بروزه‌خیزی آن شد. تلفیق اطلاعات به دست آمده و نتیجه‌گیری کلی، ناهنجاری خاصی را در مورد این آتشفسان نشان نداد اما تجزیه و تحلیل داده‌های لرزه‌ای موجود از منطقه تفتان، بیانگر رابطه گوتبرگ- ریشترا به صورت $logN = -0.3975 M + 2.7489$ می‌باشد که اوج فعالیت‌های لرزه‌ای منطقه تفتان طی سال‌های ۱۹۹۰- ۱۹۹۴ بوده است. اطلاعات آتشفسان‌شناسی در منطقه کافی نمی‌باشد با این حال بین فعالیت‌های آتشفسانی سال‌های ۱۹۷۰- ۱۹۹۳ با فعالیت‌های لرزه‌ای ارتباط زمانی مشاهده می‌شود. بنابراین با توجه به اهمیت منطقه تفتان از دیدگاه مخاطرات طبیعی و کمبود اطلاعات موجود جهت بررسی‌های لازم، پایش‌های جامع لرزه زمین‌ساختی و آتشفسان‌شناسی در منطقه‌ی تفتان ضروری به نظر می‌رسد.

کلیدواژه‌ها: لرزه‌خیزی، آتشفسان، پارامترهای لرزه، تفتان.

۱- baharrezaeinahal@yahoo.com

۱- دانشجوی دکتری تکنونیک دانشگاه آزاد اسلامی واحد تهران شمال (نویسنده مسؤول)

Mehdi.zare.iran@gmail.com

۲- دانشیار زلزله‌شناسی مهندسی، هیأت علمی و معاون پژوهشگاه بین‌المللی زلزله‌شناسی و مهندسی زلزله

Ghorashi_manouchehr@yahoo.com

۲- دکترای تکنونیک و هیأت علمی پژوهشکده علوم زمین سازمان زمین‌شناسی

rezanozaem@yahoo.com

۳- دکترای تکنونیک استادیار زمین‌شناسی، دانشگاه بین‌المللی قزوین

مقدمه

در حدود ۹۹/۹ درصد از زلزله‌ها، روی گسل‌های موجود و شناخته شده رخ می‌دهند و ۹۸ درصد از فوران‌های آتشفشنی در مناطقی اتفاق می‌افتد که در آنجا آتشفشن‌های قدیمی فعالیت داشته‌اند (قریانی، ۱۳۱۲: ۳۲۷). در اثر فعالیت‌های آتشفشنی خطرات مختلفی متوجه جوامع بشری می‌گردد. با بررسی پیشینه‌ی این فعالیت‌ها متوجه می‌شویم که گاه این خطرات اثرات وسیع و گستردگی بر روی زمین، محیط زیست و زندگی انسان‌ها دارد. البته قابل ذکر است که شرط آنکه آتشفشن‌ها حادثه‌زا باشند باید، فعالیت انفجاری داشته و فوران در مناطق مسکونی باشد. برخی از این خطرات که بر اثر فعالیت‌های آتشفشنی ایجاد می‌شوند عبارتند از جریان گدازه، جریان‌های گلی آتشفشنی، فوران‌ها و خاکسترها آتشفشنی، پرتاب قطعات و بمبهای گدازه‌ای، ابرها و بهمن‌های سوزان، باران‌های فوران، فوران در زیر آب دریا، یخچال‌ها و خطرات لرزه‌ای. خطرات لرزه‌ای در مناطق آتشفشنی عموماً با رخدادهای آتشفشنی همراه می‌باشند و تعامل متقابله نیز بر یکدیگر دارند که با توجه به آن می‌توان به بررسی اثرات آن‌ها بر یکدیگر و چگونگی این تعامل پرداخت. این بررسی‌ها می‌تواند راه‌گشایی در کشف این روابط و بهره‌برداری مناسب از آن به نفع انسان و محیط زیست آن باشد.

روش بررسی

در بررسی رابطه‌ی موجود بین فعالیت‌های آتشفشن‌ها و رخدادهای لرزه‌ای از روش‌های مختلفی استفاده می‌گردد که اکثراً مبتنی بر کشف این روابط با استفاده از بررسی مشاهدات جمع‌آوری شده از تغییرات آتشفشن‌ها و اطلاعات لرزه‌خیزی منطقه می‌باشد که نهایتاً منجر به کشف فرمول نمایانگر این رابطه و عامل

تناسب و همخوانی بین صورت مسئله، اطلاعات جمع‌آوری شده و پاسخ می‌گردد. در این مطالعه اقدام به جمع‌آوری و تدوین کاتالوگی از رخدادهای لرزه‌ای و نیز نشانه‌های دال بر فعالیت‌های آتشفشنی (نظیر خروج گاز و تغییر رنگ و ترکیب شیمیایی چشممه‌های آبرگم و...) شد. با توجه به کارهای مشابه انجام‌شده دنیا لمارچ، گراسو و زالیاپین^۱ (۲۰۰۴)، گراسو^۲ (۲۰۰۷)، ام سی نوت^۳ (۲۰۰۵)، سbastین چستین و ای آن جی میین^۴ (۲۰۰۳)، توماس^۵ (۲۰۰۶)، تراورسا پاولو و جین روپرت گراسو^۶ (۲۰۰۶)، والتر، آکوسلا، آکوسلا، نری و آملونگ^۷ (۲۰۰۵)، والتر^۸ (۲۰۰۷)، جونز جونز دوتییر و همکاران^۹ (۲۰۰۷) در این زمینه از لحاظ تشابه تیپ فعالیت‌های آتشفشنی و هدف مورد نظرمان، محاسبات مربوطه جهت بررسی پارامترهای لرزه‌ای منطقه در زمان رخداد آتشفشن، به طور متوسط ۱۴ سال (۷ سال قبل از تاریخ رخداد آتشفشن و ۷ سال بعد از تاریخ رخداد آتشفشن) در نظر گرفته شده است. با محاسبه و تجزیه و تحلیل پارامترهای لرزه‌خیزی منطقه در کل سال‌های آرامش و در سال‌های مرتبط با رخداد آتشفشنی و با بررسی رابطه‌ی گوتنبرگ- ریشترا به نتیجه‌گیری در خور توجهی به‌دست آمد.

مشخصات آتشفشن

آتشفشن تفتان از تیپ آتشفشن‌های استراتوولکان بوده و با ارتفاع ۴۰۵۰ متر در موقعیت جغرافیایی ۶۱.۱۳°E و ۲۸.۶۰°N قرار دارد.

1-Lemarchand, Grasso& Zaliapin

2-Grasso

3-McNutt

4-Sebastien. Chastin, Ian G. Main

5-Thomas

6-Traversa Paola, Jean-Robert Grasso

7-Walter, Acocella & Neri

8-Walter

9-Jonsdottir et al

جدول ۱: مشخصات آتشفشنان تفتان

| نام آتشفشنان | ارتفاع(متر) | طول جغرافیایی | عرض جغرافیایی | نوع آتشفشنان | آخرین فعالیت |
|--------------|-------------|---------------|---------------|--------------|--------------|
| تفتان | ۴۰۵۰ | 61.13E | 28.60N | استراتوولکان | نامشخص |

مأخذ: ۳۲۷، ۱۳۸۲، قربانی (WWW.USGS.gov)



شکل ۱: موقعیت منطقه آتشفشنان تفتان

مأخذ: نرم‌افزار Google Earth

را که با بزرگای بیش از ۴ ریشتر و در شعاع ۱۰۰

کیلومتری از قله رخ داده را نشان می‌دهد. بیشترین

نرخ رخدادهای لرژه‌ای این منطقه دارای بزرگایی بین ۵-۶/۴۴ می‌باشد (آمبرسیز ملویل، ۱۳۷۰)، (میرزا، ۱۳۸۱)

(WWW.USGS.gov)(WWW.IIEES.com)

زمین‌شناسی و لرژه زمین ساخت منطقه

بررسی تاریخچه لرژه‌خیزی جنوب شرقی ایران در

منطقه آتشفشنان تفتان نشانگر رخ دادن زلزله‌های با

بزرگای متوسط تا بزرگ در منطقه می‌باشد. جدول (۲)

لیستی از مهم‌ترین زمین‌لرژه‌های تاریخی و دستگاهی

جدول ۲: زمین‌لرژه‌های تاریخی و دستگاهی

| No. | Year | Mo. | Da. | Latitude | Longitude | Depth | Magnitude | Reference |
|-----|------|-----|-----|----------|-----------|-------|-----------|-----------|
| 1 | 1935 | 9 | 22 | 29 | 61 | | 4/5 | mb |
| 2 | 1936 | 9 | 7 | 29 | 61 | | 4/7 | mb |
| 3 | 1943 | 12 | 31 | 28 | 61 | | 4/5 | mb |
| 4 | 1947 | 10 | 29 | 28 | 61 | | 4/5 | mb |
| 5 | 1967 | 3 | 25 | 28.57 | 60.36 | 36 | 4/9 | mb |
| 6 | 1982 | 1 | 3 | 28.62 | 60.33 | 33 | 4/7 | mbGS |
| 7 | 1983 | 10 | 9 | 28.91 | 61.29 | 33 | 4/6 | mbGS |
| 8 | 1985 | 6 | 22 | 29.45 | 61.15 | 13 | 5 | mb |
| 9 | 1990 | 9 | 26 | 29.15 | 60.91 | 33 | 5/4 | mbGS |
| 10 | 1990 | 9 | 27 | 28.98 | 60.76 | 33 | 4/8 | mbGS |
| 11 | 1990 | 9 | 29 | 28.89 | 60.97 | 33 | 4/7 | mbGS |
| 12 | 1990 | 9 | 29 | 28.9 | 60.85 | 33 | 4/8 | mbGS |
| 13 | 1990 | 9 | 30 | 29.03 | 60.85 | 33 | 4/9 | mbGS |
| 14 | 1990 | 10 | 12 | 29.08 | 60.98 | 28 | 4/8 | mbGS |
| 15 | 1994 | 9 | 8 | 28.03 | 61.84 | 77 | 5/1 | mbGS |
| 16 | 2007 | 8 | 14 | 28.62 | 61.28 | 18 | 4/3 | LgTEH |
| 17 | 2009 | 4 | 30 | 27.74 | 61.42 | 69 | 5/2 | MwGS |
| | | | | | | | | PDE |

مأخذ: آمبرسیز، ملویل، ۱۳۷۰، میرزا، ۱۳۸۱ (WWW.IIEES.com) و (WWW.USGS.gov)

مهم‌ترین راستاهای شکل‌دهنده‌ی ساختارهای ناحیه می‌باشند (آقانباتی، ۱۳۸۳: ۵۴۳-۵۴۵)، (WWW.Ngdir.ir)، (WWW.GSI.ir)، (غلامی و همکاران، ۱۳۸۶: ۲)، (نصیری، ۱۳۸۵: ۱). (جدول ۳).

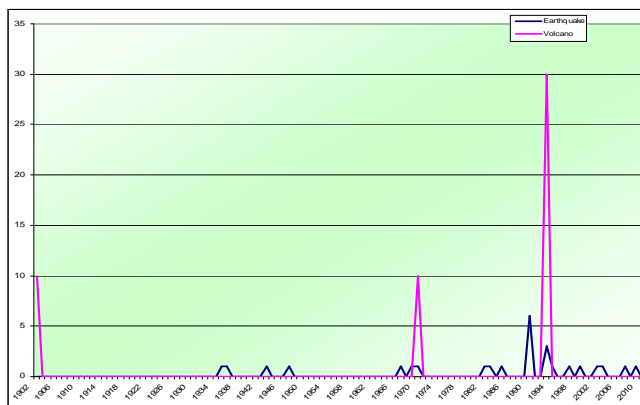
بر اساس نقشه‌ی لرزه‌زمین ساخت ایران (Berberian, 1976) و با توجه به ویژگی‌های لرزه‌زمین ساختی، منطقه دارای زمین‌لرزه‌های با ژرفای متوسط است. گسل‌های اصلی و بنیادین با راستای شمال-جنوب

جدول ۳: گسل‌های منطقه

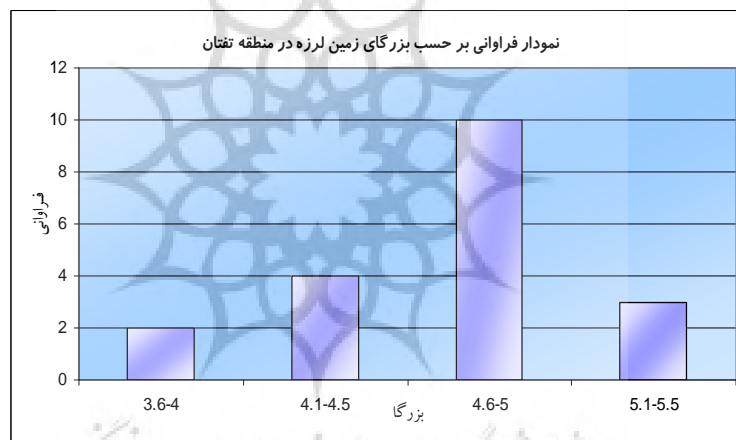
| ردیف | نام گسل | طول گسل (Km) | امتداد گسل | شبب گسل | ساز و کار گسل | زمان آخرین حرکت |
|------|----------------|--------------|------------|---------|-------------------------------------|-------------------|
| ۱ | نهیندان | 750 | N-S | - | امتداد لغز راستگرد | قدیمی‌تر از تریاس |
| ۲ | خاور نه | - | N-S | - | امتداد لغز | - |
| ۳ | باختر نه | - | N-S | - | امتداد لغز | - |
| ۴ | نصرت آباد | 250 | N-S | 70-80 | امتداد لغز راستگرد | - |
| ۵ | کپورک | - | NE-SW | - | راستبر با مؤلفه شیب لغز معکوس | - |
| ۶ | کسراب | - | NW-SE | - | رانگی-فشاری | - |
| ۷ | ترشاب | - | N,NW-S,SE | - | امتداد لغز راستگرد با مؤلفه فشاری | - |
| ۸ | آساکوهک | - | NW-SE | - | فشاری | - |
| ۹ | هریرود | 825 | N-S | - | چپگرد (۴) | - |
| ۱۰ | بشاغرد | - | E-W | - | ابتدا نرمال و بعد رانگی به سمت شمال | - |
| ۱۱ | فنوج | - | E-W | - | - | - |
| ۱۲ | جنوب جازموریان | - | E-W | - | - | - |

مأخذ: آقانباتی، ۱۳۸۳: ۵۴۳-۵۴۵ (WWW.GSI.ir)(WWW.Ngdir.ir)(WWW.IIEES.com) (نصیری، ۱۳۸۵: ۲) (غلامی و همکاران، ۱۳۸۶: ۲) (نصیری، ۱۳۸۵: ۱)

رخدادهای لرزه‌ای و آتشفسانی منطقه با توجه به اطلاعات جمع‌آوری شده از منابع معتبر ثبت رخدادهای لرزه‌ای و آتشفسانی- نظیر سایت دانشگاه هاروارد (www.globalcmt.org)، منطقه لرزه‌خیزی جنوب شرق و تفتان تا ۲۰۱۰/۰۹/۱۱ حدود ۲۶ رخداد لرزه‌ای و سه مرتبه نشانه‌های مشکوک به فعالیت‌های آتشفسانی (خروج گاز، بخار، تغییرات رنگ و ترکیب شیمیایی... و چشم‌های آبگرم و...) داشته است (آمبرسیز، ملویل، ۱۳۷۰)، (میرزا، ۱۳۸۱)، (مطلوب مندرج در آرشیو روزنامه اطلاعات)، (WWW.IIEES.com) و (WWW.USGS.gov) (شکل ۲). بیشترین نرخ رخدادهای لرزه‌ای این منطقه دارای بزرگایی بین ۴/۶-۵ می‌باشد (آمبرسیز، ملویل، ۱۳۷۰)، (میرزا، ۱۳۸۱)، (مطلوب مندرج در آرشیو روزنامه اطلاعات)، (WWW.IIEES.com) و (WWW.USGS.gov) (شکل ۳).



شکل ۲ : رخدادهای لرزه‌ای و آتشفشاری منطقه تفتان (رخدادهای آتشفشاری ۵ برابر شده‌اند)
مأخذ: مطالعات میدانی نگارندگان، ۱۳۸۹



شکل ۳ : نمودار فراوانی بر حسب بزرگی زمین‌لرزه - تفتان
مأخذ: مطالعات میدانی نگارندگان، ۱۳۸۹

رابطه (۱) به رابطه گوتنبرگ- ریشرتر معروف است، که $N = \log C + (a - \beta M)$ تعداد زمین‌لرزه‌های با بزرگی بیش از M و β ضرایب ثابت هستند (زارع، ۱۳۸۴: ۱۳۰-۱۳۲).

طی محاسبات انجام شده پارامترهای لرزه‌خیزی منطقه‌ی مورد مطالعه به شرح جدول (۴) می‌باشد.

لازم به ذکر است که به دلیل کمبود داده‌های لرزه‌خیزی موجود، محاسبه پارامترهای لرزه‌خیزی در طی دو سال از سال‌های با نشانه‌های دال بر فعالیت‌های آتشفشاری (سال‌های ۱۹۰۲ و ۱۹۷۰) ممکن نشد.

پارامترهای لرزه‌خیزی
به منظور دستیابی به پارامترهای لرزه‌خیزی مناطق مورد مطالعه در این بررسی از روش کیکو-سلول (K-S) استفاده شده است. زیرا روش‌های استفاده شده توسط کیکو- سلول (۱۹۹۲) امکان می‌دهد عدم قطعیت بزرگی زمین‌لرزه و ناکامل بودن داده‌ها در تخمین پارامترهای زلزله‌خیزی دخالت داده شود.

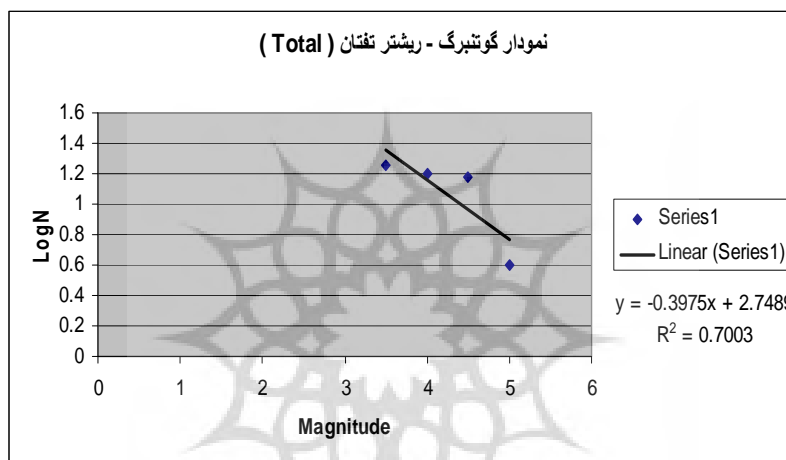
$$\log N = a - \beta M \quad (1)$$

جدول ۴: پارامترهای لرزه‌خیزی منطقه تفتان - نرم افزار Kijko

| Mmax | Mmin | b | a | λ | β | بازه زمانی |
|------|------|------|------|-----------|---------|------------|
| 5/48 | 3/59 | 0/44 | 0/39 | 0/85 | 1/01 | Total |
| 5/75 | 3/69 | 0/43 | 0/33 | 2/16 | 0/99 | 1993 |

مأخذ: مطالعات میدانی نگارندگان، ۱۳۸۹

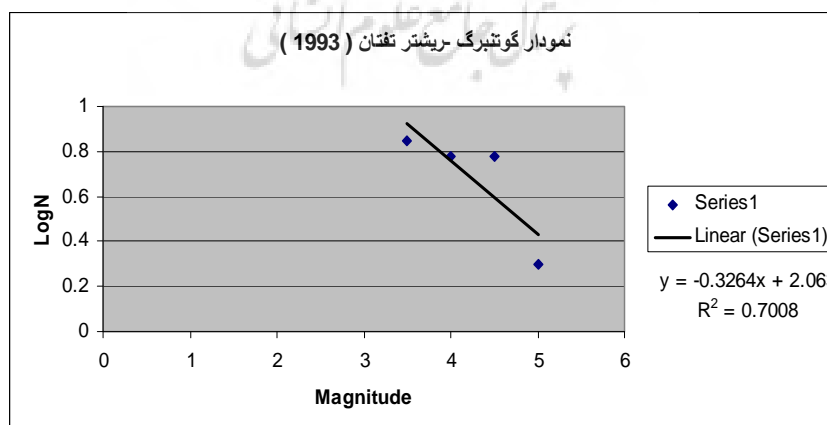
رابطه‌ی گوتنبرگ- ریشر برای شاعع ۱۰۰ کیلومتری
از طول و عرض جغرافیایی مذکور در منطقه تفتان برابر
 $\log N = -0.3975 M + 2.7489$ (۲)



شکل ۴: نمودار گوتنبرگ- ریشر تفتان (Total)

مأخذ: مطالعات میدانی نگارندگان، ۱۳۸۹

رابطه‌ی گوتنبرگ- ریشر و نمودار مربوط به سال ۱۹۹۳ (۳)
 $\log N = -0.3264 M + 2.063$ در منطقه تفتان به شرح تصویر (۵) می‌باشد.



شکل ۵: نمودار گوتنبرگ- ریشر تفتان (1993)

مأخذ: مطالعات میدانی نگارندگان، ۱۳۸۹

در سال ۱۹۹۳ فعالیت‌های آتشفشنایی بعد از اوج رخدادهای لرزه‌ای رخ داده است.

علی‌رغم سکون لرزه‌ای منطقه تفتان در سال‌های قبل از ۱۹۳۰، این منطقه در سال ۱۹۰۲ شاهد نشانه‌هایی دال بر فعالیت آتشفشنایی بوده است. با توجه به نمودارهای فراوانی بر حسب بزرگای زمین‌لرزه در منطقه تفتان (شکل ۳) بیشترین فراوانی لرزه‌ای بزرگ‌ای بین ۴/۶-۵ دارد و فراوانی زلزله‌های با $M < 4$ کمتر یا مساوی دو رخداد در بازه زمانی مورد بررسی (تا ۱۱/۰۹/۲۰۱۰) می‌باشد.

در پایان تأکید می‌شود که نتایج حاصله بر اساس اطلاعات موجود و ثبت شده به دست آمده است و کمبود داده‌ها و انجام نشدن مطالعات کافی، دال بر فعالیت کم منطقه نخواهد بود. با توجه به کمبود و نبود اطلاعات کافی، انجام نشدن پایش زمین و بررسی تغییرات منطقه و...، از طرفی نزدیک بودن مناطق آتشفشنایی به مراکز جمعیتی، ادامه مطالعات بیشتر و به کارگیری روش‌های جدید در این زمینه لازم و ضروری است.

منابع

- آمبرسیز، نیکلاس؛ ملویل چارلز (۱۳۷۰). تاریخ زمین‌لرزه‌های ایران، ترجمه رده. انتشارات آگاه.
- آقانباتی، علی (۱۳۸۳). زمین‌شناسی ایران، چاپ اول. سازمان زمین‌شناسی و اکتشافات معدنی کشور.
- زارع، مهدی (۱۳۸۴). مقدمه‌ای بر زلزله‌شناسی کاربردی، چاپ اول. پژوهشگاه بین‌المللی زلزله‌شناسی و مهندسی زلزله.
- غلامی‌ابراهیم؛ میرعلی‌اکبر نوگول‌سادات، محمد‌مهدی خطیب، علی یساقی (۱۳۸۶). شواهد ساختاری از تأثیر گسل‌های شمالی-جنوبی در توسعه دگرگیختی‌های جنوب خاوری بیرجند، پهنه سیستان، علوم زمین. شماره ۷۱. تهران.

بحث و نتیجه

فعالیت‌های آتشفشنایی و رخدادهای لرزه‌ای معمولاً در تعامل متقابل با یکدیگر بوده و رخداد هریک باعث تشدید دیگری می‌گردد. این بر هم کنش متقابل به نقش آتشفشنای‌ها در یک سیستم زمین ساختی فعال و احتمال اثر فعالیت‌های سامانه‌ی آتشفشنای در تحریک و چکانش جنبش در گسل‌های بنیادی منطقه و در نتیجه اثرگذاری غیرمستقیم آن بر رخداد یک زمین‌لرزه و یا تأثیر رخدادهای لرزه‌ای در تحریک آتشفشنای و آشیانه ماجمایی، حرکت ماقما و غیره و تشدید فعالیت‌های آتشفشنای در منطقه مربوط می‌شود. بر اساس اطلاعات موجود و تجزیه و تحلیل آن‌ها با رابطه گوتنبرگ- ریشر و کیکو- سلوول، نتایج زیر حاصل گردید:

منطقه‌ی تفتان با سه رخداد آتشفشنای (سال‌های ۱۹۷۰، ۱۹۰۲ و ۱۹۹۳)، روند لرزه‌خیزی کم و بیش ثابتی را دارد. در آخرین رخداد آتشفشنای ثبت شده، نرخ لرزش‌ها در هنگام وقوع فعالیت‌های آتشفشنای روند کاهشی را نشان می‌دهد. به عبارتی دیگر، بیشترین لرزش مربوط به سال‌های قبل از رخداد آتشفشنای می‌باشد و پس از آن به روند ثابت قبلی خود باز می‌گردد. اوج فعالیت‌های لرزه‌ای منطقه‌ی تفتان طی سال‌های مورد مطالعه (۱۹۰۰-۲۰۱۰) در سال‌های ۱۹۹۰-۱۹۹۴ رخ داده است. در دیگر سال‌ها، نرخ لرزه‌خیزی منطقه کم و بیش ثابت بوده است.

نشانه‌های دال بر فعالیت‌های آتشفشنای در منطقه از نظر ارتباط زمانی آن با وقوع بیشترین رخدادهای لرزه‌ای به شرح ذیل می‌باشند:

- در سال ۱۹۰۲ فعالیت‌های آتشفشنای قبل از اوج رخدادهای لرزه‌ای رخ داده است.
- در سال ۱۹۷۰ فعالیت‌های آتشفشنای همزمان با اوج رخدادهای لرزه‌ای رخ داده است.

- Sánchez,J.J.,McNutt,S. R (2004). Unexpected Response Of MT. Wrangell Volcano, Alaska , to the Shaking From a Large Regional Earthquake : A Puzzle For Intermediate-Term Earthquake-Volcano Interactions , Earth Sci. Res. J. , Vol. 8, No. 1.
- Sébastien F. M. Chastin and Ian G. Main, (2003). Statistical analysis of daily seismic event rate as a precursor to volcanic eruptions, Geophysical research letters , Vol. 30 , No.13.
- Thomas W. R (2006).How a tectonic earthquake may wake up volcanoes: Stress transfer during the 1996 earthquake–eruption sequence at the Karymsky Volcanic Group Kamchatka, ScienceDirect, Earth and Planetary Science Letters 264 (2007) 347–359.
- Traversa Paola and Jean-Robert Grasso (2006). Brittle creep damage as the seismic signature of dyke propagations within volcanoes, CNRS, OSUG, LGIT, BP 53, 38041, Grenoble, France.
- Walter ,T. R (2007). How a tectonic earthquake may wake up volcanoes: Stress transfer during the 1996 earthquake eruption sequence at the Karymsky Volcanic Group, Kamchatka, ScienceDirect , Earth and Planetary Science Letters 264.
- Walter ,T. R. , and Acocella , V. , and Neri , M., and Amelung , F (2005). Feedback processes between magmatic events and flank movement at Mount Etna (Italy) during the 2002–2003 eruption , Journal Of Geophysical Research , Vol. 110 .
- Google Earth, 5.2.1.1547, 2010, Software .
- WWW.USGS.gov
- WWW.IIEES.com
- WWW.GSI.ir
- WWW.Ngdir.ir
- قربانی، منصور (۱۳۸۲). مبانی آتشفشنانشناصی با نگرشی بر آتشفشنانهای ایران، چاپ اول. انتشارات آرینزمین.
- مطالب مرتبه مندرج در آرشیو روزنامه اطلاعات سالهای ۱۳۰۵-۱۳۸۹
- میرزایی، نوربخش (۱۳۸۱). پارامترهای مبنای زمینلرزههای ایران، نشر دانش نگار .
- نصیری، عیسی (۱۳۸۵). مورفوتکتونیک و نئوتکتونیک گسل کهورک، پایاننامه کارشناسی ارشد. داشگاه سیستان و بلوچستان. چکیده .
- Berberian, M (1976) . An explanatory note on the first seismotectonic map of Iran; A seismotectonic review of the Contry. In Contribution to the seismotectonics of Iran (Part II). Geological Survey of Iran.
- Grasso , J. and Zaliapin , I (2004).Predictability of volcano eruption: Lessons from a basaltic effusive volcano , Geophysical research letters , Vol. 31.
- Jónsdóttir , K. , and Tryggvason ,a., and Roberts , R. , and Lund ,B. , and Soosalu , H., and Bodvarsson , R (2007). Habits of a glacier-covered volcano: Seismicity patterns and velocity structure of Katla volcano, Iceland , Annals of Glaciology,Annals of Glaciology, Vol. 45.
- Kijko-Slevolle - Bayes, (Kijko&Graham, 1998) Seismic hazard, Software.
- Lemarchand , N. , and Grasso, G .R (2007). Interactions between earthquakes and volcano activity , Geophysical research letters , Vol. 34.
- McNutt , S. R (2005). Volcanic Seismology , Annu. Rev. Earth Planet. Sci.
- Ritz. J.-F, et al (2006). Active transtension inside central Alborz: A new insight into northern Iran–southern Caspian geodynamics” Geology, v. 34; no. 6.